

愛知工業大学 正員 小林古信博
 愛知工業大学 正員 青木 徹彦
 名古屋大学 正員 福本 勝士

1.はじめに

冷間加工をうけて材料の降伏点はみかけ上、原材料の降伏点を上回る。曲げ加工などにより製作された部材では、このような強度の増加分を考慮することがある。^{1), 2)} 材料試験として一般には引張試験が行なわれたが、試験片の断面形状が矩形以外の場合にはチャッキングに工夫が必要となる。筆者らは先に、曲げ加工を行って製作された八角形断面鋼柱の中心軸圧縮実験を実施した。本報告ではこの部材の降伏点荷重を求めるために、部材から切出した試験片の圧縮試験を試みている。

2. 試験方法

板材の圧縮試験では曲げ変形によって試験片の軸変形が防げられないようになる必要がある。薄板の場合には面外変形のみを拘束する特殊な治具が用いられ、この治具に適した試験片寸法が与えられている。このような治具を用いた場合^{3), 4), 5)}、座屈を起さぬように試験片寸法を決定し、さらに整置も入念に行なわねばならない。

八角形鋼柱の断面形状を Fig. 1 に示す。断面形状は Photo 1 に示すよう力を強制曲げによって加工される。内側の曲げ半径は 60^{mm}である。板厚は 4.5^{mm}, 6^{mm}, 9^{mm} の三種類、材質は SS41 である。各板厚ごとに平板部、隅角部および溶接部から Fig. 2 に示すような圧縮試験片を切出す。また平板部の引張試験も行い、両者の結果を比較する。いずれの試験片も板厚と原厚のままでした。板厚 4.5^{mm} の原材はエイル材である。

試験状況を Photo 2 に示す。端面の拘束を少なくてするため、試験片下端にテフロンシートを敷き、斜円板を用いて整置した。試験片の四隅裏表に長さ 3^{mm} のゲージを貼付して斜円板を調整する。応力分布の関係で中央裏表に貼付した長さ 10^{mm} のゲージの値の平均値から求める。

3. 試験結果とその考察

試験結果の一例を Fig. 3 に示す。実線は圧縮試験による平板部、隅角部の軸縮み、一点錐線はこれらに対応する面外変形を示す。また比較のために平板部の引張試験結果を破線で示す。この図より、降伏点に達すると面外変形も増加していくことがわかる。しかし試験片裏表のひずみの平均値は十分進

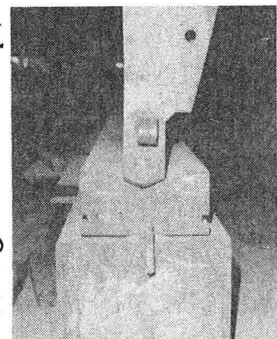
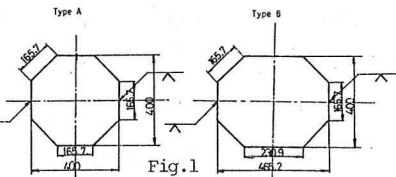


Photo 1

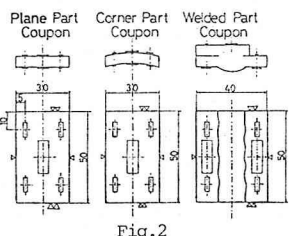


Fig. 2

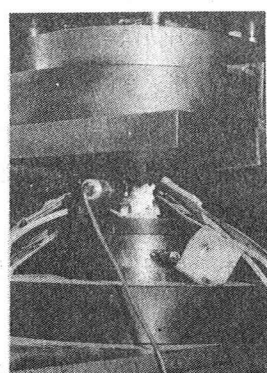


Photo 2

展する。平板部の圧縮試験においても引張試験と同様の明瞭な降伏点が得られる。隅角部や深溝部ではその応力-ひずみ曲線がひらひらした勾配を有してゐるため、 $\alpha_2\%$ 耐力を降伏点とした。これらの結果をTable 1に示す。平板部の引張試験と圧縮試験による降伏点を比較すると、板厚が 4.5mm の場合、後者より 5% 低く、 $6\text{mm}, 9\text{mm}$ の場合には 5% 高くなる。一方、曲げ加工等でひらひらした隅角部の降伏点は平板部の圧縮試験結果よりも、板厚 $4.5\text{mm}, 9\text{mm}$ の場合 25% 前後、 6mm では 6% 程度高くなっている。これをFig. 4に示す。Fig. 4 および引張試験に基づく八角形鋼柱の降伏点荷重をそれぞれ P'_y 、 P_y とする。また座屈実験結果から得られた 0.2% 耐力を \bar{P}_y とする。先に報告した座屈実験結果を \bar{P}_y 、 P_y 、 P'_y により整理するとTable 2のようになる。 P'_y は P_y よりも、板厚 4.5mm の場合約 1% 、 6mm の場合約 7% 、 9mm の場合約 12% 程度大きい。さらに P'_y は \bar{P}_y よりも $6\sim 7\%$ 大きい。ここで隅角部および深溝部が全断面積に対する割合は各板厚とともに約 17% 、 10% となっている。

4.まとめ

平板部の圧縮試験による降伏点は引張試験値よりも、板厚 4.5mm の場合 5% 低く、 $6\text{mm}, 9\text{mm}$ の場合 5% 高い値を示した。また八角形鋼柱の降伏点荷重を隅角部、深溝部の強度を考慮して圧縮試験より求めると、これらは強度を考慮せず、引張試験より求めた値よりも 1% ($t=4.5$)、 7% ($t=6$)、 12% ($t=9$)程度高い値が得られた。

あとがき

試験片の入念な整置は愛知工業大学、山内隆生君、岩見淳男君、鈴木伸和君の援助により行はれました。ミニマ感謝致します。

参考文献

- 1) "Design of Steel Transmission Pole Structures", ASCE, Vol.100, No. ST12, Dec., 1974
- 2) karren and Winter, "Effects of Cold-Forming on Light-Gage Steel Members", ASCE, Vol.93, No. ST1, Feb., 1967
- 3) 小瀬吉、青木、福本、八角形鋼柱へ中心軸圧縮強度実験、第36回年講概要集(S.56)
- 4) karren, "Corner Properties of Cold-Formed Steel Shapes", ASCE, Vol.93, No. ST1, Feb., 1967
- 5) ASTM STANDARDS E9-77
- 6) Johnston, Guide to Stability Design for Metal Structures, Third Edition, Wiley & Sons

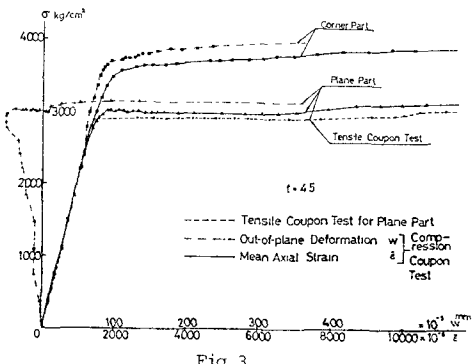


Fig. 3

Thickness	Tensile Coupon Test			Compression Coupon Test									
	Plane Part			Plane Part			Corner Part			Welded Part			
	t	σ_y	E_y	E	σ_y	E_y	E	σ_y	E_y	E	σ_y	E_y	E
4.5	3020	1451	2.08	2870	1.21	2.02	3640	1750	2.08	3400	1619	2.10	
	-	-	-	-	+5%	-	+21%	-	-	+13%	-	+16%	-
	-	-	-	-	-	-	+12%	-	-	+10%	-	+9%	-
6	3160	1505	2.10	3320	1.951	2.14	3520	1710	2.04	3470	1669	2.09	
	-	-	-	-	+5%	-	+12%	-	-	+10%	-	+9%	-
	-	-	-	-	-	-	+6%	-	-	+8%	-	+7%	-
9	2570	1224	2.10	2710	12.65	2.16	3340	1629	2.03	3310	1607	2.06	
	-	-	-	-	+5%	-	+30%	-	-	+29%	-	+24%	-
	-	-	-	-	-	-	+34%	-	-	+24%	-	+21%	-

Table 1

Unit : t mm
 σ_y kg/cm²
 $E_y \times 10^6$
 $E \times 10^6$ kg/cm²

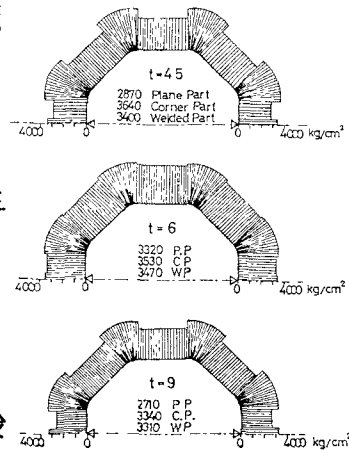


Fig. 4

Design Parameters	Type	Axial Compression Test				Tensile Coupon Test				Compression Coupon Test					
		w/t	t/t	P_{max}	A	$\bar{\sigma}_y$	$\bar{E}_y = A - \bar{\sigma}_y$	$P_{max}/\bar{\sigma}_y$	G_y	$P_{max} + G_y$	$P_{max}/\bar{\sigma}_y$	P'_y	$\bar{\sigma}_y/P'_y$		
18.4 44.4	A90	118.5	.10.29	2700	297+0	1.070	-	2570	-	283.4	1.124	317.4	1.120	1.003	1.046
	B90	338.0	121.52	2700	328.1	1.030	-	-	-	312.3	1.082	348.0	1.134	0.971	1.06
42.5 51.7	A60-1	1215.5	.75.04	3150	236.4	0.996	-	-	-	237.1	0.993	251.1	1.067	0.830	1.071
	A60-2	236.5	.75.00	3150	236.3	0.001	-	-	-	237.0	0.998	253.0	1.068	0.835	1.071
27.6 66.7	A45-1	135.0	.62.34	-	-	-	-	-	-	183.3	0.992	131.0	1.014	0.969	-
	A45-2	197.5	.62.34	-	-	-	-	-	-	188.3	0.996	131.0	1.014	0.982	-
36.8 88.9	B45-1	235.0	.81.22	-	-	-	-	-	-	316.0	256.7	0.915	273.6	1.066	0.859
	B45-2	178.5	.68.39	-	-	-	-	-	-	302.0	206.5	0.812	209.3	1.009	0.825
51.2 103.4	B45-1	171.8	.68.39	-	-	-	-	-	-	207.4	0.861	209.2	1.009	0.853	-
	B45-2	178.5	.68.67	-	-	-	-	-	-	-	-	-	-	-	-

Note : * Width-Thickness Ratio for Wide Panel
Buckling at Upper End
+ Buckling at Location of Half-Wavelength Below from Upper End
 $\bar{\sigma}_y$ 0.2 Offset due to Axial Compression Test

Unit : σ ton/kg/cm²
 $\sigma \times 10^6$

Table 2